

YC-JS-882.- Facies característica de la "serie negra" del Precámbrico Superior: pizarras grauváquicas negruzcas. Es = peculiar el aspecto caótico y la falta de ordenación= de la esquistosidad.



YC-JS-883.- Conglomerados poligénicos que marcan el tránsito en = la serie sedimentaria del Precámbrico Superior al Cámbrico. Al fondo, la presa de Jaime Ozores, cimentada= sobre ellos.



YC-JS-884.- Areniscas gris-azuladas a violáceas muy bien estratificadas y con estructuras de "ripple-marks" dentro de del tramo detrítico inferior del Georgiense.



YC-JS-885.- Tramo carbonatado del dominio cámbrico del Noreste: = Calcoesquistos afectados por plegamiento de estilo similar ("slip folds") y esquistosidad de fractura contemporánea.



YC-JS-886.- Microconglomerado gneísico de facies porfiroide, ni-= vel situado en el tránsito Precámbrico Superior-Cám-= brico dentro del dominio Suroeste.



YC-JS-887.- Panorámica hacia el Noroeste de las calizas georgienses del dominio Suroeste. Una apretada red de fracturas (zonas rectilíneas cubiertas de hierva en la foto) es aprovechada por masas de composición eminentemente diabásica para su emplazamiento.



YC-JS-888.- Panorámica hacia el ENE del tramo carbonatado de la foto 887: Contacto entre calizas al fondo (izquierda y derecha) y rocas subintrusivas (pórfidos graníticos) en primer plano y al fondo, en la franja central. La banda caliza está separada por una falla de dirección E-W.



YC-JS-889.- Panorámica desde el Valle de Matamoros hacia el NNE. En primer término, el tramo detrítico inferior sin apenas vegetación. Al fondo, la típica y monótona "serie negra" alberga un enorme bosque de encinas.



YC-JS-890.- Pórfidos de Sierra Vieja o microgranitos alcalinos porfídicos con egirina y riebequita. Las alineaciones oscuras del centro de la foto están formadas por cúmulos de fenocristales de melanocratos y obedecen a una intensa fluidaridad de origen primario.



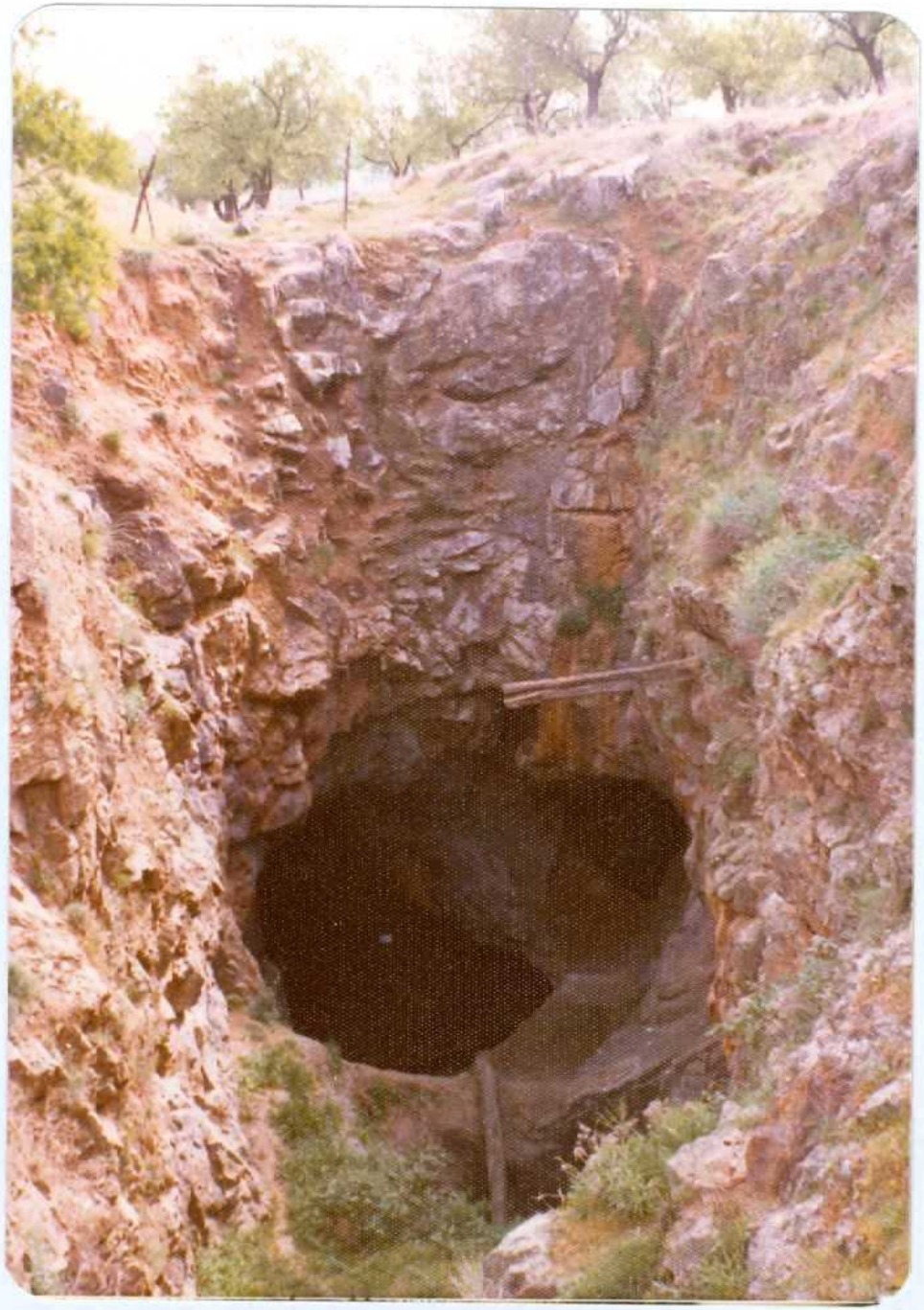
YC-JS-891.- Pórfidos de Sierra Vieja: La evidente relación de este = macizo con el tramo volcánico del= Cámbrico Medio y la gneisificación secundaria que presenta a veces == (esta foto es un buen ejemplo), == permite señalar como muy verosimil que dicho macizo se emplazara en = zonas poco profundas y anexas a == una de las bocas de salida de las= rocas volcánicas.



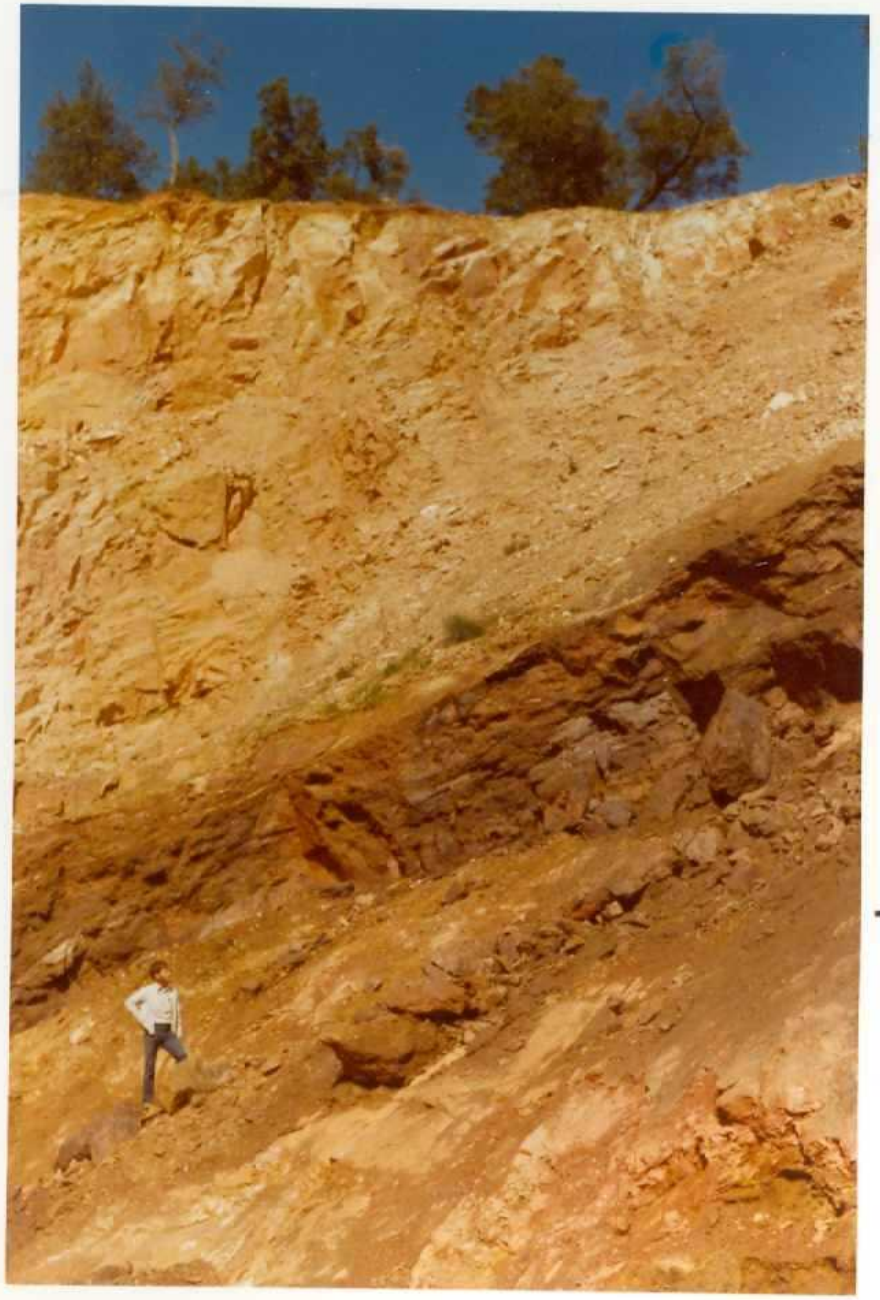
YC-JS-892.- Cantera abandonada dentro del batolito de Burguillos: Bloques de composición diorítica aparecen rotos, orientados y hasta plegados por una masa granítica de grano grueso con foliación primaria paralela a la orientación de aquellos.



YC-JS-893.- Dique de composición gabroidica dentro del macizo complejo de Burguillos. Obsérvese el típico "layering" = subhorizontal y un sistema de diaclasas muy paralelo.



YC-JS-894.- Capa de magnetita muy impura, de unos 2 m. de espesor,= en una mina abandonada del borde= Sur del batolito de Burguillos.



YC-JS-895.- Zona 1ª de las minas= de FERLO, en el paraje de La Bóveda: Capa de magnetita sinsedimentaria encajada en una secuencia = vulcanosedimentaria ácida: tobas= sericíticas con fenocristales de= cuarzo, afectadas por dos esquistosidades.



YC-JS-896.- Zona 6ª del grupo minero de FERLO. Nivel de pirita de unos 6 cm. de espesor, claramente plegado y budinado. En esta zona hay una fuerte transformación de las tobas ácidas en caolin y cuarzo, debido al emplazamiento, a escasos metros, de uno de los macizos graníti-= cos de la subprovincia petrográfica del Suroeste.



YC-JS-897.- Mina abandonada, situada 3 Km. al SE del Valle de Santa Ana: Rocas volcánicas tobáceas parcialmente mineralizadas, facilmente deleznables y de aspecto escoriáceo; dichas rocas muy bien estratificadas, aparecen en esta foto atravesadas por un leucogranito alcalino granito alcalino granofídico cataclasizado (emplazado antes de $F_2$-?-).